



- Nieliniowa Optyka Materiałów Ciekłokrystalicznych: Przegląd Właściwości i Zastosowań
- Technika Z-Scan: Teoria, Interpretacja i Obliczenia

Technika Z-Scan: Teoria, Interpretacja i Obliczenia

1. Wprowadzenie do Techniki Z-Scan

Technika Z-scan jest prostą, ale niezwykle czułą metodą pomiarową, która zrewolucjonizowała charakteryzację nieliniowości optycznych w materiałach. Jej strategiczne znaczenie wynika z faktu, że w przeciwieństwie do bardziej złożonych technik, takich jak interferometria nieliniowa czy mieszanie czterofalowe, Z-scan oferuje porównywalną czułość przy znacznie prostszej aparaturze eksperymentalnej opartej na pojedynczej wiązce laserowej. Ta prostota, połączona z precyzją pozwalającą na detekcję nieliniowych zmian kształtu frontu falowego na poziomie lepszym niż $\lambda/300$, czyni ją nieocenionym narzędziem w badaniach fotonycznych.

Kluczową zaletą metody Z-scan jest jej zdolność do jednoczesnego i jednoznacznego wyznaczenia zarówno znaku, jak i wartości nieliniowego współczynnika załamania światła (n_2) oraz nieliniowego współczynnika absorpcji (β). Dzięki temu badacze mogą uzyskać kompleksowy obraz nieliniowej odpowiedzi optycznej materiału w ramach jednego, spójnego eksperymentu. Zdolność do rozdzielenia tych dwóch efektów jest kluczowa dla pełnego zrozumienia i zastosowania materiałów w urządzeniach optoelektronicznych.

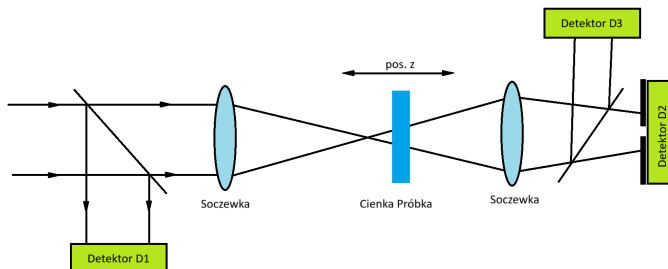
Niniejsze kompendium szczegółowo omawia podstawy fizyczne, konfigurację eksperymentalną oraz analizę teoretyczną leżącą u podstaw tej potężnej techniki, przygotowując grunt pod jej praktyczne zastosowanie.

2. Zasady Działania i Konfiguracja Eksperymentalna

Zrozumienie fizycznych podstaw techniki Z-scan jest kluczowe dla prawidłowej interpretacji wyników pomiarowych. Jej elegancja polega na bezpośrednim powiązaniu obserwowlanych zmian w propagacji wiązki z nieliniowymi właściwościami badanego materiału. Ta sekcja szczegółowo omawia zarówno standardowy schemat aparatury, jak i jakościowy mechanizm powstawania charakterystycznej sygnatury pomiarowej, która jest sercem tej metody.

2.1 Układ Pomiarowy

Standardowy układ eksperymentalny Z-scan jest niezwykle prosty.



Składa się z następujących kluczowych komponentów:

- Źródło światła: Laser emitujący stabilną wiązkę Gaussa.
- Układ skupiający: Soczewka, która skupia wiązkę, tworząc przewężenie (ognisko).
- Próbka: Badany materiał umieszczony na precyzyjnym stoliku translacyjnym, który umożliwia jej przesuwanie wzdłuż osi propagacji wiązki (z).
- Apertura: Przesłona o stałym promieniu, umieszczona w dalekim polu za próbką.
- Detektor 2 : Fotodetektor mierzący moc wiązki przechodzącej przez aperturę.
- Detektor 3 : Fotodetektor mierzący całkowitą moc przechodzącą przez próbke jest potrzebny do określenia absorpcji światła przez próbkę.
- Detektor 1 : Fotodetektor mierzący moc jaka wchodzi do układu jest potrzebny do normalizacji natężenia światła.

Na początek wyznaczamy współczynniki b_2 oraz b_3 , który możemy określić poprzez sprawdzenie układu bez wstawionej próbki:

$$b_2 = \frac{I_1}{I_2}$$

$$b_3 = \frac{I_1}{I_3}$$

gdzie b to współczynnik normalizacji natężenia dla detektorów 2 oraz 3, a I to natężenie mierzone na detektorach 1, 2, 3.

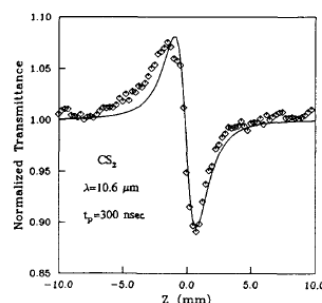
W trakcie pomiaru próbka jest przesuwana przez ognisko wiązki laserowej, a detektor rejestruje znalezioną transmitancję jako funkcję pozycji z. To właśnie zmiana tej transmitancji, wywołana nieliniowym zniekształceniem czoła fali, pozwala na scharakteryzowanie materiału.

2.2 Interpretacja sygnału Z-Scan za aperturą

Ruch próbki wzdłuż osi z powoduje zmianę natężenia wiązki w materiale, co indukuje nieliniowe efekty refrakcyjne. Próbka, pod wpływem wysokiego natężenia w pobliżu ogniska, działa jak cienka soczewka o mocy zależnej od natężenia. Efekt ten modyfikuje rozbieżność wiązki za próbką, co prowadzi do zmiany jej średnicy na płaszczyźnie apertury i, w konsekwencji, do zmiany mierzonej transmitancji. Związek między znakiem nieliniowości a kształtem krzywej Z-scan jest bezpośredni i intuicyjny:

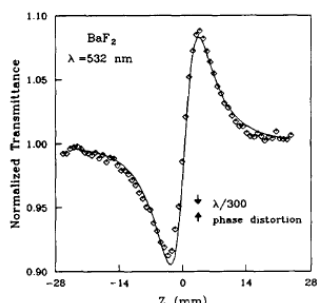
- **Nieliniowość ujemna ($n_2 < 0$): Występuje zjawisko samorozogniskowania (ang. self-defocusing).**

- Gdy próbka znajduje się przed ogniskiem (ujemne z), indukowana soczewka rozpraszająca kolimuje wiązkę, co powoduje jej zwężenie na płaszczyźnie apertury i wzrost transmitancji.
- Gdy próbka znajduje się za ogniskiem (dodatnie z), ta sama soczewka rozpraszająca zwiększa dywergencję wiązki, co prowadzi do jej poszerzenia na płaszczyźnie apertury i spadku transmitancji.
- Charakterystyczną sygnaturą jest konfiguracja szczyt-dolina (ang. peak-valley).



- **Nieliniowość dodatnia ($n_2 > 0$): Występuje zjawisko samoogniskowania (ang. self-focusing).**

- Gdy próbka znajduje się przed ogniskiem, indukowana soczewka skupiająca zwiększa dywergencję wiązki, co prowadzi do spadku transmitancji.
- Gdy próbka znajduje się za ogniskiem, ta sama soczewka skupiająca kolimuje wiązkę, co prowadzi do wzrostu transmitancji.
- Charakterystyczną sygnaturą jest konfiguracja dolina-szczyt (ang. valley-peak).



Ta prosta, wizualna interpretacja, pozwalająca na natychmiastowe określenie znaku nieliniowości na podstawie kształtu zarejestrowanej krzywej, jest jedną z największych zalet metody Z-scan.

Chociaż jakościowa interpretacja stanowi solidną podstawę, do precyzyjnego wyznaczenia wartości liczbowych nieliniowych współczynników niezbędna jest szczegółowa analiza teoretyczna, która zostanie przedstawiona w kolejnej sekcji.

3. Analiza Teoretyczna dla Czysto Refrakcyjnej Nieliniowości

Tutaj zajmę się na narzędziach opisu modelu teoretycznego do przekształcenia surowych danych pomiarowych w precyzyjne wartości fizycznych współczynników nieliniowych. Przedstawione poniżej równania i założenia, a w szczególności kluczowe przybliżenie "cienkiego ośrodka", stanowią fundament do analizy Z-scan, pozwalając na dokładne scharakteryzowanie badanych materiałów pod względem ich współczynników nieliniowych.

3.1 Podstawowe Równania Nieliniowej Refrakcji

Dla nieliniowości trzeciego rzędu (efekt Kerr), całkowity współczynnik załamania światła n można opisać jako sumę wkładu liniowego n_0 i wkładu zależnego od natężenia światła I :

$$n = n_0 + n_2 \frac{|E|^2}{2} = n_0 + \gamma I$$

Równanie (1)

gdzie poszczególne symbole oznaczają:

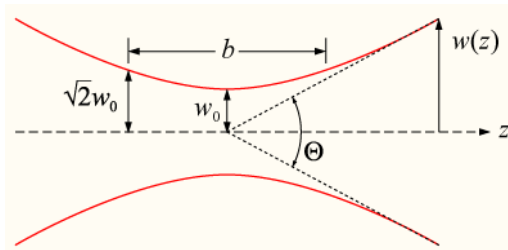
Symbol	Opis
n	Całkowity współczynnik załamania światła
n_0	Liniowy współczynnik załamania światła
n_2	Nieliniowy współczynnik załamania światła
γ	Nieliniowy współczynnik załamania światła w jednostkach m^2/W
E	Amplituda pola elektrycznego fali świetlnej
I	Natężenie wiązki laserowej

Współczynniki n_2 i γ są ze sobą powiązane poprzez następujący wzór konwersyjny:

$$n_2(\text{esu}) = \frac{cn_0}{40\pi} \gamma(m^2/W)$$

gdzie c to prędkość światła w próżni.

Należy jednak pamiętać, że natężenie światła jakie pada na dany fragment próbki się zmienia. W technice Z-scan używa się wiązki Gaussa TEM_{00} o promieniu w talii ω_0 , propagującej się w kierunku $+z$. Kwadrat promienia wiązki $\omega^2(z)$ i promień krzywizny czoła fali $R(z)$ zależą od położenia z próbki względem ogniska ($z=0$). Największe natężenie uzyskujemy w położeniu z_0 .



Taką wiązkę możemy opisać jako:

$$E(r, z, t) = E_0(t) \frac{\omega_0}{\omega(z)} \exp\left(-\frac{r^2}{\omega^2(z)} - \frac{ikr^2}{2R(z)}\right) \exp(-i\phi(z, t))$$

• $\omega(z)$ - promień wiązki w pozycji z

$$\omega(z) = \omega_0 \sqrt{1 + \frac{z^2}{z_0^2}} = \omega_0 \frac{z}{z_R} \quad \text{gdzie } z_R = \frac{\pi \omega_0^2}{\lambda}$$

• $R(z)$ - promień krzywizny frontu falowego

$$R(z) = z \left(1 + \frac{z_0^2}{z^2}\right)$$

• Interpretacja członów:

• Zależność amplitudy od czasu to jest:

$$E_0(t) \frac{\omega_0}{\omega(z)}$$

• Poprzeczny rozkład natężenia (wzdłuż promienia r)

$$\exp\left(-\frac{r^2}{\omega^2(z)}\right) \quad \text{gdzie } r \text{ to jest odległość promieniowa od osi wiązki}$$

• Propagacja i Krzywizna Czoła Fali (Zależność Fazy Liniowej): Ten człon opisuje liniową, radialną zmianę fazy, która jest wynikiem dyfrakcji i skupienia. Jest to kluczowy element wiązki Gaussa po przejściu przez soczewkę.

- Zmiany Fazy Osiowej: Reprezentuje zmiany fazy, które są stałe w poprzek wiązki (niezależne od r) i zależą od położenia próbki z i czasu t . Ponieważ technika Z-scan zajmuje się obliczaniem radialnych zmian fazy ($\Delta\Phi(r)$), ten człon osiowej fazy $\phi(z,t)$ jest zazwyczaj ignorowany.

$$\exp(-i\phi(z,t))$$

• Natężenie wiązki padające na próbkę

$$I(r, z, t) = I_0(t) \left(\frac{\omega_0}{\omega(z)} \right)^2 \exp\left(-\frac{2r^2}{\omega^2(z)}\right)$$

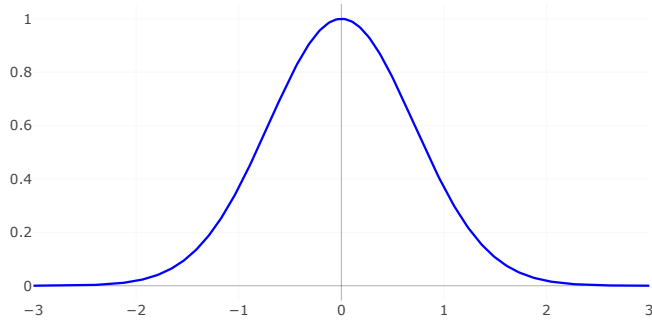
lub

$$I(z, t) = I_0(t) \left(\frac{\omega_0}{\omega(z)} \right)^2$$

Pole Gaussowskie $|E(r, z)|$

Przesuń suwak, aby zmienić położenie (względem promienia Rayleigha).

λ [nm]: w_0 [mm]: E_0 :



3.2 Przybliżenie "Cienkiego Ośrodka" i Obliczanie Przesunięcia Fazowego

Analiza Z-scan jest znacznie uproszczona, jeśli przyjmie się, że badany materiał jest "cienki". Chociaż formalny warunek teoretyczny dla zaniedbania dyfrakcji liniowej wewnątrz próbki to $L \ll z_R$ (gdzie L to grubość próbki, a z_R to długość Rayleigha), empirycznie stwierdzono, że wystarczające jest spełnienie mniej restrykcyjnego kryterium $L < z_R$. W takim przypadku można zaniedbać zmiany średnicy wiązki wewnątrz materiału, a nieliniowy efekt traktować jako jednorazowe zwiększenie fazy na wyjściu z próbki.

Osiowe przesunięcie fazowe w ognisku, $\Delta\Phi_0$, które jest kluczowym parametrem charakteryzującym siłę nieliniowości, opisane jest równaniem:

$$\Delta\Phi_0(t) = k\Delta n_0(t)L_{eff}$$

gdzie:

- k to wektor falowy

$$k = \frac{2\pi}{\lambda}$$

- Δn_0 to maksymalna zmiana współczynnika załamania na osi w ognisku, przy natężeniu I_0

$$\Delta n_0 = \gamma I_0$$

- L_{eff} to efektywna długość próbki. Parametr ten reprezentuje rzeczywistą długość oddziaływania, która jest zredukowana w stosunku do fizycznej grubości L na skutek strat wynikających z absorpcji liniowej (współczynnik α).

$$L_{eff} = \frac{1 - e^{-\alpha L}}{\alpha}$$

Dla próbek o niskiej absorpcji ($\alpha L \ll 1$):

$$L_{eff} \approx L$$

- **Przesunięcie fazowe próbki zależne od jej położenia:**

$$\Delta\phi_0(z, t) = \frac{\Delta\Phi_0(t)}{1 + \frac{z^2}{z_R^2}}$$

Przesunięcie fazowe próbki

Długość fali (lambda, nm):

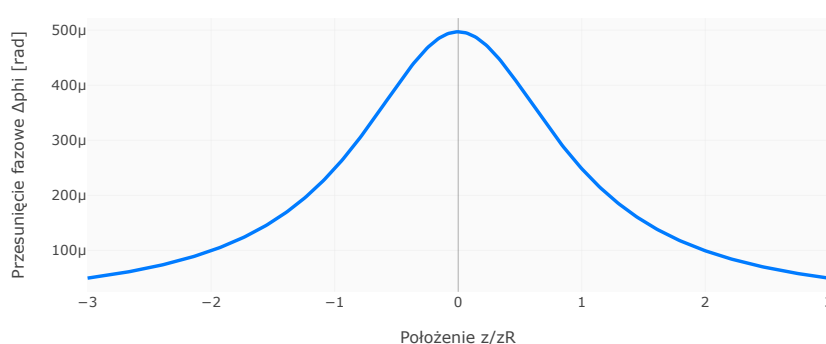
Współczynnik absorpcji (alfa, 1/m):

Współczynnik nieliniowy (gamma $\times 10^{-9}$ m²/W):

Natężenie światła (I_0 , kW/m²):

Grubość próbki (L, mm):

Zależność przesunięcia fazowego $\Delta\phi$ od z/z_R



3.3 Relacja między Pomiarem a Nieliniowością

Najważniejszym mierzalnym parametrem na krzywej Z-scan jest różnica między znormalizowaną transmitancją w szczycie (T_p) a w dolinie (T_v), oznaczana jako ΔT_{pv} . Dla niewielkich nieliniowych przesunięć fazowych ($|\Delta\Phi_0| \leq \pi$), parametr ten jest wprost proporcjonalny do modułu $\Delta\Phi_0$:

$$\Delta T_{pv} \approx 0.406(1 - S)^{0.25} |\Delta\Phi_0|$$

W powyższym wzorze, S oznacza liniową transmitancję apertury i jest zdefiniowane jako:

$$S = 1 - \exp\left(-\frac{2r_a^2}{w_a^2}\right)$$

, gdzie r_a to promień apertury, a w_a to promień wiązki na płaszczyźnie apertury.

To opisuje nieliniowość 3 rzędu.

Ta prosta, liniowa zależność stanowi podstawę niezwykłej czułości metody Z-scan. Przykładowo, jeśli aparatura pomiarowa jest w stanie rozróżnić zmiany transmitancji na poziomie 1%, możliwe jest zmierzenie przesunięć fazowych odpowiadających zniekształceniom frontu falowego rzędu $\lambda/250$.

3.4 Charakterystyka Geometryczna Krzywej Z-Scan

Kształt krzywej Z-scan dostarcza również informacji o rzędzie nieliniowości.

- Dla nieliniowości trzeciego rzędu (np. efekt Kerra), odległość między szczytem a doliną jest stała i wynosi w przybliżeniu:

$$\Delta z_{pv} \approx 1.7 \cdot z_R$$

- Dla nieliniowości piątego rzędu, odległość ta jest mniejsza i wynosi:

$$\Delta z_{pv} \approx 1.2 \cdot z_R$$

Ten parametr geometryczny (Δz_{pv}) służy zatem jako bezpośrednia, obserwowalna eksperymentalnie sygnatura pozwalająca na rozróżnienie rzędu dominującego procesu nieliniowego, bez konieczności stosowania złożonych procedur dopasowania.

3.5 Symulacja pomiaru Z-scan z aperturą

W tej sekcji spróbuję odwzorować pomiar metodą Z-scan, pozwalającego na wyznaczenie nieliniowego współczynnika załamania (n_2) materiału optycznego. Metoda opiera się na pomiarze transmitancji wiązki laserowej w zależności od położenia próbki nieliniowej wzdłuż osi optycznej układu skupiającego.

• Symulacja nieliniowego elementu optycznego

W ośrodku o nieliniowym współczynniku załamania zależnym od natężenia:

$$n = n_0 + \gamma I(x, y)$$

dochodzi do "nieliniowej modulacji fazy" propagującej się fali elektromagnetycznej.

Zmiana fazy pola elektrycznego po przejściu przez materiał ma postać:

$$\Delta\phi(x, y) = k\gamma I(x, y), L_{eff}$$

gdzie $k = \frac{2\pi}{\lambda}$ to liczba falowa, a L_{eff} – efektywna długość ośrodka.

W konsekwencji, w zależności od znaku (γ), wiązka może się samozogniskowywać ($\gamma > 0$) lub samorzogniskowywać ($\gamma < 0$).

Do symulacji takiego elementu użyje Python, zatem mogę taki element zdefiniować jako:

```
#definicja nieliniowego elementu gdzie zmienia współczynnik załamania zgodnie z I
def nonlinearElement(E, gamma, L_eff, wavelength):
    k = 2 * np.pi / wavelength
    intensity = np.abs(E)**2
    E_out = E * np.exp(1j * k * gamma * intensity * L_eff)
    return E_out
```

• Struktura układu optycznego

Symulowany układ odpowiada klasycznej konfiguracji Z-scan z zamkniętą aperturą, składającej się z następujących elementów:

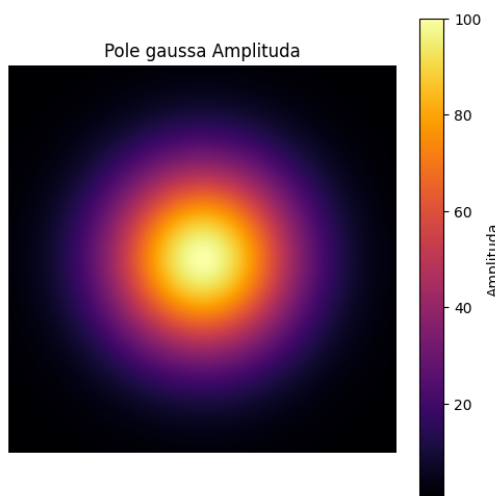
- Źródło wiązki Gaussa

Na wejściu układu generowana jest wiązka o profilu Gaussa:

$$E(x, y) = E_0 \exp \left[-\frac{x^2 + y^2}{\omega_0^2} \right] e^{i\phi(x,y)}$$

gdzie ω_0 jest promieniem wiązki, a $\phi(x,y)$ to jej faza początkowa (w symulacji przyjęta jako stała).

Poniżej przedstawiam rozkład amplitudy pola wiązki Gaussa, charakteryzujący się symetrycznym, cylindrycznym profilem o maksymalnym natężeniu w osi układu.



Pole gaussa mogę wygenerować w następujący sposób:

```
#generuje pole gaussa
def getGaussianBeam(N, dx, w0, phase_type='zero', phi_value=0):
    """
    Generuje pole Gaussa NxN.

    Parametry:
    N          : int - rozmiar pola NxN
    dx         : float - rozdzielcość pikseli w metrach
```

```

phi_value : float - faza stała (tylko dla 'constant')

Zwraca:
E : np.ndarray - pole zespolone NxN
"""
x = np.arange(-N//2, N//2) * dx
y = np.arange(-N//2, N//2) * dx
X, Y = np.meshgrid(x, y)

amplitude = 100*np.exp(-(X**2 + Y**2) / w0**2)

# Dodanie fazy
if phase_type == 'zero':
    phase = 0
elif phase_type == 'constant':
    phase = phi_value
elif phase_type == 'random':
    phase = np.random.uniform(-np.pi, np.pi, size=(N, N))
else:
    raise ValueError("phase_type musi być 'zero', 'constant' lub 'random'")

E = amplitude * np.exp(1j * phase)
return E

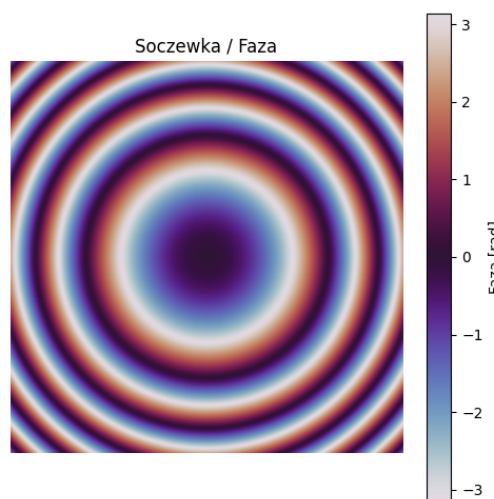
```

• Pierwsza soczewka cienka

Wiązka przechodzi przez soczewkę o ogniskowej ($f = 10 \text{ cm}$). Soczewka wprowadza paraboliczną zmianę fazy, co skutkuje skupieniem fali.

$$\phi_{\text{lens}}(x, y) = -\frac{\pi}{\lambda f} (x^2 + y^2)$$

Na ilustracji poniżej widać rozkład faz. Widać charakterystyczne koncentryczne pierścienie – efekt kwadratowej zależności fazy od odległości od osi optycznej.



Taką soczewkę mogę wygenerować (rozkład fazy) za pomocą:

```

def generateLens(N, dx, wavelength, f):
    """
    Generuje soczewkę cienką jako element fazowy NxN.

    Parametry:
    N         : int - rozmiar pola NxN
    dx        : float - rozdzielcość pikseli w metrach
    wavelength: float - długość fali w metrach
    f         : float - ogniskowa soczewki w metrach

    Zwraca:
    lens : np.ndarray - macierz zespolona NxN reprezentująca soczewkę
    """
    x = np.arange(-N//2, N//2) * dx
    y = np.arange(-N//2, N//2) * dx
    X, Y = np.meshgrid(x, y)

    phase = -np.pi / (wavelength * f) * (X**2 + Y**2)
    lens = np.exp(1j * phase)

    return lens

```

• Próbka nieliniowa

Miedzy dwiema soczewkami o tej samej ogniskowej umieszczony jest cienki element nieliniowy, który zmienia fazę fali zgodnie z lokalnym natężeniem światła:

$$E_{\text{out}}(x, y) = E_{\text{in}}(x, y) \exp(i k \gamma I(x, y) L_{\text{eff}})$$

wzdłuż osi Z pomiędzy dwiema soczewkami oddalonymi o 20 cm.

• Druga soczewka

Po wyjściu z próbki wiązka przechodzi przez drugą soczewkę również $f = 10 \text{ cm}$, która ponownie kolimuje lub skupia promienie w zależności od nieliniowej fazy nabytej w materiale.

• Apertura kołowa i detektor

W odległości 10 cm za drugą soczewką umieszczona jest kołowa apertura o promieniu r_a . Przepuszcza ona jedynie centralną część wiązki:

$$A(x, y) = \begin{cases} 1 & : x^2 + y^2 \leq r_a^2 \\ 0 & : \text{poza aperturą} \end{cases}$$

Taką aperturę mogę symulować w następujący sposób:

```
# Definiowanie przysłony
def getAperture(N, shape='circle', size=50):
    """
    Generuje maskę przysłony NxN.

    Parametry:
    N      : int - rozmiar maski NxN
    shape : str - 'circle' lub 'square'
    size   : int - promień koła lub połowa boku kwadratu w pikselach

    Zwraca:
    aperture : np.ndarray - maska przysłony (1 w otworze, 0 poza nim)
    """
    X, Y = np.meshgrid(np.arange(-N//2, N//2), np.arange(-N//2, N//2))
    aperture = np.zeros((N, N))

    if shape == 'circle':
        aperture[X**2 + Y**2 <= size**2] = 1
    elif shape == 'square':
        aperture[np.abs(X) <= size, np.abs(Y) <= size] = 1
    else:
        raise ValueError("shape musi być 'circle' lub 'square'")

    return aperture
```

Za aperturą obliczana jest całkowita transmitancja, która odpowiada mocy zarejestrowanej przez detektor.

$$T(z) = \iint |E(x, y, z)|^2 A(x, y) dx dy$$

Natomiast obliczanie to, co pada na detektor za przysłoną możemy obliczyć w python jako całkowitą moc:

```
def getIntensity(E, dx=None, mode='total'):
    """
    Zwraca intensywność pola optycznego.

    Parametry:
    -----
    E : np.ndarray
        Pole zespolone NxN
    dx : float, opcjonalnie
        Odstęp przestrzenny [m]. Jeśli podany, zwraca moc (suma |E|^2 * dx^2)
    mode : str
        'total'  -> całkowita intensywność (lub moc)
        'mean'   -> średnia intensywność
        'max'    -> maksymalna intensywność

    Zwraca:
    -----
    float : liczba reprezentująca intensywność (lub moc)
    """
    I = np.abs(E)**2

    if mode == 'total':
        return np.sum(I) * (dx**2 if dx is not None else 1)
    elif mode == 'mean':
        return np.mean(I)
    elif mode == 'max':
        return np.max(I)
    else:
        raise ValueError("mode musi być 'total', 'mean' lub 'max'")
```

• Propagacja pola

Chyba najważniejszy element w całej symulacji, czyli propagacja wiązki między poszczególnymi elementami układu, który opisałem w przybliżeniu Fresnela.

W dziedzinie częstotliwości przestrzennych transmitancja propagacji ma postać:

$$H(f_x, f_y, z) = \exp[-i\pi\lambda z(f_x^2 + f_y^2)]$$

$$E(x, y, z) = F^{-1} \{ F [E_0(x, y)] \cdot H(x, y, z) \}$$

W ten sposób numerycznie uzyskuje się ewolucję amplitudy i fazy pola wzdłuż osi propagacji. W python można to uzyskać w następujący sposób:

```
# Propagacja Fresnela w dziedzinie Fouriera
def fresnel_propagation(E0, z, wavelength, dx):
    N = E0.shape[0]
    k = 2 * np.pi / wavelength
    fx = np.fft.fftfreq(N, d=dx)
    fy = np.fft.fftfreq(N, d=dx)
    FX, FY = np.meshgrid(fx, fy)

    # transmitancja Fresnela w dziedzinie Fouriera
    H = np.exp(-1j * np.pi * wavelength * z * (FX**2 + FY**2))
    E1 = np.fft.ifft2(np.fft.fft2(E0) * H)
    return E1
```

• Wyniki symulacji i interpretacja

Na początek sygnał trzeba znormalizować to znaczy przepropagować wiązkę Gaussa przez układ bez elementu nieliniowego w ten sposób dostań współczynnik "normalize":

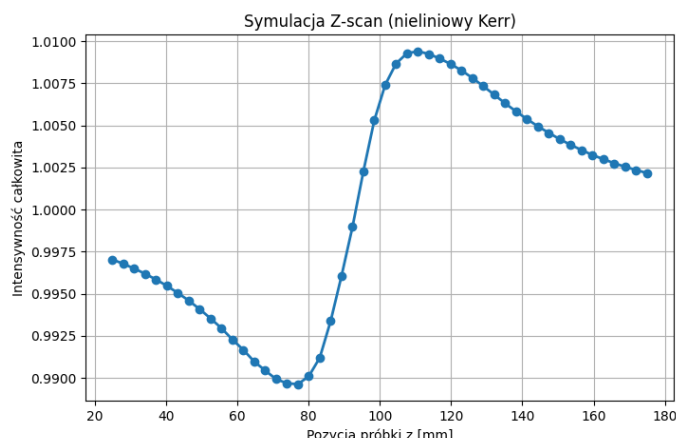
```
def get_Z_scan_normalize():
    gauss_z_scan = getGaussianBeam(N, dx, N*dx/4)
    lens1_z_scan = generateLens(N, dx, wavelength, 0.1)
    E1_z_scan = gauss_z_scan*lens1_z_scan
    E2_z_scan = fresnel_propagation(E1_z_scan, 0.2, wavelength, dx)
    lens2_z_scan = generateLens(N, dx, wavelength, 0.1)
    E4_z_scan = E2_z_scan*lens2_z_scan
    E5_z_scan = fresnel_propagation(E4_z_scan, 0.10, wavelength, dx)
    aperture_z_scan = getAperture(N, shape='circle', size=50)
    E6_z_scan = E5_z_scan*aperture_z_scan
    return getIntensity(E6_z_scan, dx=dx, mode='total')
```

Następnie dla każdej pozycji próbki Z w układzie obliczana jest transmitancja T(z).

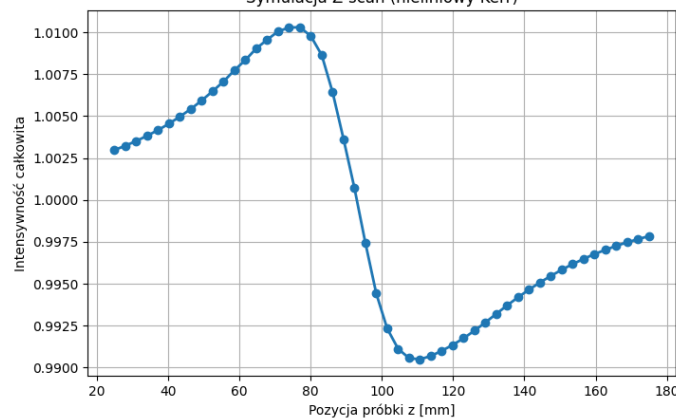
```
def get_Z_scan(z, gamma, L_eff):
    z1 = 0.2
    z2 = z1-z
    gauss_z_scan = getGaussianBeam(N, dx, N*dx/4)
    lens1_z_scan = generateLens(N, dx, wavelength, 0.1)
    E1_z_scan = gauss_z_scan*lens1_z_scan
    E2_z_scan = fresnel_propagation(E1_z_scan, z, wavelength, dx)
    E_n1_z_scan = nonlinearElement(E2_z_scan, gamma, L_eff, wavelength)
    E3_z_scan = fresnel_propagation(E_n1_z_scan, z2, wavelength, dx)
    lens2_z_scan = generateLens(N, dx, wavelength, 0.1)
    E4_z_scan = E3_z_scan*lens2_z_scan
    E5_z_scan = fresnel_propagation(E4_z_scan, 0.10, wavelength, dx)
    aperture_z_scan = getAperture(N, shape='circle', size=50)
    E6_z_scan = E5_z_scan*aperture_z_scan
    return getIntensity(E6_z_scan, dx=dx, mode='total')
```

Otrzymana zależność ma postać charakterystyczną dla pomiaru Z-scan:

- Dodatni nieliniowy współczynnik ($\gamma > 0$) prowadzi do efektu samosoczewkowania - wiązka ulega dodatkowemu skupieniu w pobliżu ogniska, co objawia się na wykresie transmitancji najpierw dolina potem wyżyna. Na wykresie przedstawiam symulację dla przykładowego $\gamma=10^{-10}$ oraz dla $L_{eff}=0.2$ mm.



- Ujemny współczynnik ($\gamma < 0$) powoduje samorzogniskowanie wiązki, skutkujące wzrostem transmitancji dla początkowych wartości z a następnie spadkiem (tzw. „valley”). Na wykresie przedstawiam symulację



Na uzyskanym wykresie $T(z)$ obserwuje się zatem symetryczny kształt typu „peak–valley” lub „valley–peak”, zależny od znaku nieliniowości. Z różnicy wartości szczyt-do-dółka można wyznaczyć maksymalną zmianę fazy $\Delta\Phi_0$, a stąd nieliniowy współczynnik załamania n_2 . W dalszych sekcjach pokaże jak można na podstawie wykresu wyznaczyć współczynnik załamania.

Symulacja pozwala numerycznie odtworzyć zjawiska zachodzące w rzeczywistym pomiarze Z-scan i umożliwia analizę wpływu parametrów takich jak:

- długość fali
- promień wiązki
- długość efektywna próbki
- współczynnik nieliniowy γ

Otrzymane wyniki są zgodne z przewidywaniami teoretycznymi i stanowią solidną podstawę do interpretacji eksperymentalnych pomiarów nieliniowego współczynnika załamania światła.

4. Zastosowania Praktyczne i Interpretacja Danych

Celem tej sekcji jest demonstracja praktycznego zastosowania teorii Z-scan w analizie rzeczywistych danych pomiarowych. Omówię po krutce jak obliczać współczynniki nieliniowe, rozróżniać naturę tych nieliniowości (np. termiczną) oraz jak radzić sobie z typowymi niedoskonałościami eksperymentalnymi, takimi jak niejednorodności próbki.

4.1 Procedura Obliczeniowa Krok po Krok

Jak obliczyć nieliniowe współczynniki γ i n_2 na podstawie zmierzonej krzywej Z-scan.

• Pomiar ΔT_{pv}

- Wykonaj pomiar Z-scan i odczytaj z wykresu wartości znormalizowanej transmitancji (tj. wartość z detektora za aperturą) w szczycie (T_p) i w dolinie (T_v). Można do tego skorzystać z współczynnika b_2

$$b_2 = \frac{I_1}{I_2}$$

- Następnie w dużej odległości od punktu z/z_R możemy wyliczyć przeskalowanie lub przesunięcie tak, aby była w pomiarach wartość 1.
- Następnie możemy oblicz różnicę:

$$\Delta T_{pv} = T_p - T_v$$

• Obliczenie $|\Delta\Phi_0|$

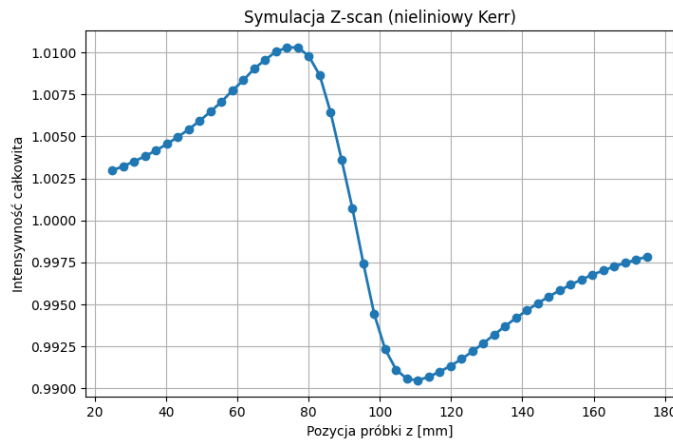
- Użyj kluczowej relacji liniowej, aby wyznaczyć moduł osiowego przesunięcia fazowego w ognisku:

$$\frac{\Delta T_{pv}}{0.406(1 - S)^{0.25}} \approx |\Delta\Phi_0|$$

gdzie S to transmisja apertury, która wyraża się w następujący sposób:

$$S = 1 - \exp\left(-\frac{2r_a^2}{w_a^2}\right)$$

Obliczmy to dla następującego wykresu z symulacji:



tutaj w szczycie mamy 1.01031, a w dolinie 0.99048 zatem nasze $T_{pv}=0.01983$, za to $w_a=N*dx/4=512*dx$ oraz $r_a=50*dx$. Zatem transmisja apertury w symulacji to jest:

$$S \approx 0.02$$

$$|\Delta\Phi_0| \approx 4.91 \cdot 10^{-2}$$

• Obliczenie Δn_2

Przekształć równanie na przesunięcie fazowe, aby obliczyć maksymalną zmianę współczynnika załamania na osi wiązki w ognisku:

$$\Delta n_2 = \frac{\Delta\Phi_0}{kL_{eff}}$$

Pamiętać trzeba o uwzględnieniu znaku nieliniowości (dodatni dla doliny-szczytu, ujemny dla szczytu-doliny) przy przypisywaniu wartości $\Delta\Phi_0$. Tutaj za to wychodzi:

$$\Delta n_2 = -1.95 \cdot 10^{-5}$$

• Obliczenie γ z n_2

Skorzystam ze związku $\Delta n_2 = \gamma I_0$, aby wyznaczyć γ , gdzie I_0 to natężenie wiązki w ognisku i wynosi $1.66 \cdot 10^6$. To po obliczeniach mam:

$$\gamma \approx -1.17 \cdot 10^{-10}$$

Natomiast w symulacji użyłem:

$$\gamma = -10^{-10}$$

Drobną rozbieżność wyników (rzad się zgadza 10^{-10}) może być wynikiem przybliżeń komputera podczas

ściśle określonych punktach symulacji.

4.2 Rozróżnianie Rodzajów Nieliniowości (Efekty Czasowe)

Natura nieliniowości często zależy od czasu trwania impulsu laserowego. Pomiar Z-scan dla dwusiarczku węgla (CS_2) doskonale to ilustruje.

- Długie impulsy (nanosekundowe): W pomiarze z użyciem impulsów o czasie trwania 300 ns, w CS_2 dominuje nieliniowość termiczna. Liniowa absorpcja energii prowadzi do lokalnego podgrzania materiału, co powoduje ujemną zmianę współczynnika załamania ($\frac{dn}{dT} < 0$). Skutkuje to sygnaturą szczyt-dolina (samorzogniskowanie), co zilustrowano dla CS_2 .

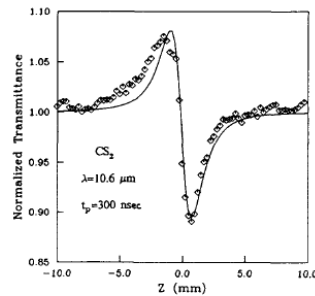


Fig. 4. Measured Z-scan of a 1 mm thick CS_2 cell using 300 ns pulses at $\lambda = 10.6 \mu\text{m}$ indicating thermal self-defocusing. The solid line is the calculated result with $\langle \Delta\Phi_0 \rangle = -0.6$ and 60% aperture ($S = 0.6$).

- Ultrakrótkie impulsy (pikosekundowe): W pomiarze z użyciem impulsów o czasie trwania 27 ps, efekty termiczne są pomijalne. Dominującym mechanizmem staje się reorientacyjny efekt Kerr'a, który jest procesem niemal natychmiastowym i ma charakter dodatni. Prowadzi to do charakterystycznej sygnatury dolina-szczyt (samoogniskowanie), co widać poniżej.

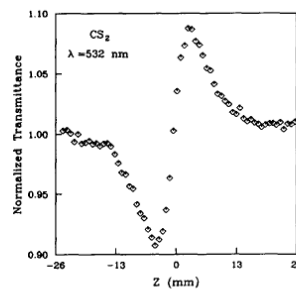


Fig. 5. Measured Z-scan of a 1 mm thick CS_2 cell using 27 ps pulses at $\lambda = 532 \text{ nm}$. It depicts the self focusing effect due to the reorientational Kerr effect.

Porównanie to demonstruje użyteczność techniki w badaniu różnych mechanizmów fizycznych: kumulatywnego, powolnego (nanosekundy do mikrosekund) efektu termicznego w przeciwnieństwie do natychmiastowego, szybkiego (femtosekundy do pikosekund) elektronicznego i reorientacyjnego efektu Kerr'a.

4.3 Eliminacja Wpływu Niedoskonałości Próbki

Nierówności powierzchni lub wewnętrzne niejednorodności próbki mogą powodować zmiany transmitancji podczas skanowania, które nie są związane z nieliniowością optyczną. Te "pasożytnicze" efekty mogą maskować rzeczywisty sygnał nieliniowy.

Skuteczną metodą korekcji jest wykonanie dwóch pomiarów:

- Pomiar referencyjny: Przeprowadź skanowanie przy niskim natężeniu wiązki, gdzie efekty nieliniowe są pomijalnie małe. Zarejestrowana krzywa odzwierciedla jedynie wpływ niedoskonałości próbki.
- Pomiar właściwy: Wykonaj skanowanie przy wysokim natężeniu, aby wzbudzić nieliniowość.
- Korekcja: Odejmij znormalizowane dane z pomiaru referencyjnego od znormalizowanych danych z pomiaru właściwego. Ta procedura skutecznie usuwa tło i izoluje sygnał pochodzący wyłącznie od nieliniowości optycznej. Przedstawiono tą metodę między innymi w artykule: "Sensitive measurement of optical nonlinearities using a single beam"

Bardzo często miałem taki problem przy pomiarach pamiętam. Poniżej przedstawiona jest ilustracja z artykułu, który przedstawia tą metodę:

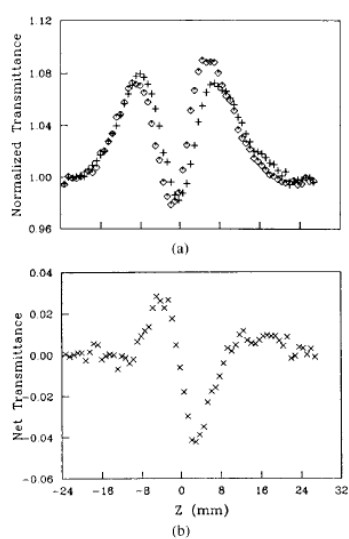


Fig. 8. (a) Measured Z-scans of a 1 mm thick ZnSe sample with poor surface quality for low irradiance (diamonds) showing the background and high irradiance (+). (b) Net transmittance change versus z after the background subtraction of the data in (a).

Omówione dotąd przypadki dotyczyły materiałów z czystą nieliniowością refrakcyjną. Kolejny rozdział rozszerzy analizę o sytuacje, w których występuje również nieliniowa absorpcja.

5. Analiza w Obecności Nieliniowej Absorpcji

W wielu materiałach nieliniowej refrakcji towarzyszy nieliniowa absorpcja (np. absorpcja dwufotonowa, 2PA). Siłą techniki Z-scan jest zdolność do rozdzielenia i niezależnego pomiaru obu tych efektów za pomocą prostej modyfikacji procedury pomiarowej.

5.1 Rola Pomiaru z Otwartą Aperturą

Kluczowa zasada rozdzielania efektów opiera się na wykonaniu dodatkowego pomiaru z całkowicie otwartą aperturą (lub bez apertury), co odpowiada warunkowi $S=1$. W tej konfiguracji detektor zbiera całą przechodzącą przez próbkę wiązkę. Taki pomiar jest niewrażliwy na nieliniową refrakcję (zniekształcenia fazy), ale pozostaje w pełni czuły na zmiany w całkowitej transmitancji spowodowane nieliniową absorpcją.

Krzywa Z-scan uzyskana z otwartą aperturą jest symetryczna względem ogniska ($z=0$) i jej kształt zależy od rodzaju nieliniowej absorpcji:

- Absorpcja wielofotonowa (np. 2PA): Powoduje spadek transmitancji, więc krzywa wykazuje minimum w ognisku.
- Nasycenie absorpcji: Prowadzi do wzrostu transmitancji, więc krzywa wykazuje maksimum w ognisku.

5.2 Praktyczna Procedura Rozdzielania Efektów

Poniższa procedura, zilustrowana na przykładzie absorpcji dwufotonowej (2PA) w półprzewodniku ZnSe, pozwala na jednoznaczne i niezależne wyznaczenie współczynnika nieliniowej absorpcji β oraz nieliniowego współczynnika załamania y .

- Krok 1: Pomiar z otwartą aperturą ($S=1$). Wykonaj pomiar Z-scan bez apertury. Otrzymana symetryczna krzywa, jak na Rys. 9(a) w publikacji źródłowej, odzwierciedla wyłącznie nieliniową absorpcję. Dopasowując dane do modelu teoretycznego, można jednoznacznie wyznaczyć współczynnik β .
- Krok 2: Pomiar z zamkniętą aperturą ($S<1$). Wykonaj standardowy pomiar Z-scan z częściowo zamkniętą aperturą. Otrzymana krzywa, jak na Rys. 9(b), zawiera połączony efekt nieliniowej refrakcji i absorpcji. Obecność 2PA powoduje charakterystyczną asymetrię. Nieliniowa absorpcja jest najsilniejsza w ognisku ($z=0$), co oznacza, że nieproporcjonalnie ostabia wiązkę w pozycjach, gdzie formuje się szczyt i dolina sygnału refrakcyjnego. W efekcie, szczyt przedogniskowy jest stłumiony, a dolina zaogniskowa pogłębiona.
- Krok 3: Izolacja efektu refrakcyjnego. Podziel znormalizowane dane z pomiaru z zamkniętą aperturą (Krok 2) przez znormalizowane dane z pomiaru z otwartą aperturą (Krok 1). Ta prosta operacja matematyczna usuwa wkład nieliniowej absorpcji, a wynikowa krzywa reprezentuje czystą nieliniowość refrakcyjną, co zilustrowano na Rys. 11 w publikacji źródłowej.
- Krok 4: Obliczenie y i n_2 . Przeanalizuj krzywą uzyskaną w Kroku 3, stosując standardową procedurę opisaną w Sekcji 4.1. Na jej podstawie oblicz ΔT_{pv} , a następnie wyznacz wartości y i n_2 .

Ta elegancka procedura dzielenia danych matematycznie izoluje efekty zniekształcenia fazy od efektów redukcji amplitudy, skutecznie rozdzielając część rzeczywistą i urojoną nieliniowej podatności trzeciego rzędu ($x^{(3)}$) na podstawie jednego zestawu pomiarów. To czyni technikę Z-scan niezwykle potężnym narzędziem do kompleksowej charakteryzacji materiałów nieliniowych.

6. Wnioski

Przedstawione kompendium demonstruje, że technika Z-scan jest eleganckim i potężnym narzędziem do charakteryzacji nieliniowości optycznych. Jej kluczowe zalety, które przyczyniły się do jej szerokiego rozpowszechnienia, można podsumować w trzech punktach.

Po pierwsze, prostota eksperymentalna oparta na pojedynczej wiązce laserowej czyni ją dostępną i łatwą do wdrożenia. Po drugie, cechuje ją wyjątkowo wysoka czułość, pozwalająca na pomiar nieliniowych zniekształceń czoła fali na poziomie lepszym niż $\lambda/300$. Wreszcie, jej najważniejszą cechą jest unikalna zdolność do oddzielnego i jednoznacznego wyznaczania zarówno znaku i wartości nieliniowej refrakcji (n_2), jak i nieliniowej absorpcji (β) w ramach spójnej procedury pomiarowej.

Dzięki tym cechom, technika Z-scan pozostaje cennym i szeroko stosowanym narzędziem w fundamentalnych i aplikacyjnych badaniach materiałów dla fotoniki, optoelektroniki i optyki nieliniowej.

• Dodatek: Wyprowadzenie Kluczowych Zależności

Ta sekcja przedstawia uproszczone wyprowadzenie analityczne dla kluczowych parametrów krzywej Z-scan, bazując na analizie przedstawionej w oryginalnej publikacji dla przypadku małego przesunięcia fazowego.

Znormalizowana transmitancja na osi wiązki w dalekim polu, w przybliżeniu małego nieliniowego przesunięcia fazowego ($|\Delta\Phi_0| \ll 1$), może być opisana następującym równaniem:

$$T(x, \Delta\Phi_0) \approx 1 + [4x\Delta\Phi_0 / ((x^2 + 9)(x^2 + 1))] \quad \text{Równanie (A2)}$$

gdzie $x = z/z_0$ jest znormalizowaną pozycją próbki.

Aby znaleźć pozycje ekstremów (szczytu i doliny), należy znaleźć miejsca zerowe pochodnej transmitancji względem x poprzez rozwiązywanie równania $dT/dx = 0$. Rozwiążanie prowadzi do następujących pozycji:

$$x_{\text{p},v} = \pm 1/\sqrt{3} \approx \pm 0.577 \quad \text{Równanie (A3)}$$

Odległość między szczytem a doliną na osi z wynosi zatem:

$$\Delta z_{\text{pv}} = (x_{\text{p}} - x_{\text{v}})z_0 = (1/\sqrt{3} - (-1/\sqrt{3}))z_0 \approx 1.732 z_0 \quad \text{Równanie (A4)}$$

Jest to zgodne z wartością $\Delta z_{\text{pv}} \approx 1.7 z_0$ podaną wcześniej.

Wstawiając wartości x_{p} i x_{v} z powrotem do równania na transmitancję (A2), można obliczyć różnicę $\Delta T_{\text{pv}} = T_{\text{p}} - T_{\text{v}}$. Po uproszczeniu otrzymujemy się kluczową zależność liniową:

$$\Delta T_{\text{pv}} \approx 0.406 |\Delta\Phi_0| \quad \text{Równanie (A5)}$$

Wyprowadzenie to potwierdza fundamentalne relacje wykorzystywane w analizie danych Z-scan dla przypadku nieliniowości trzeciego rzędu.

Podsumowanie do odsłuchania

0:00 / 21:14

Generuj PDF



Zadanie 1.

Zaznacz poprawne odpowiedzi

1. Która struktura anatomiczna przechodzi przez otwór czworoboczny (foramen quadrilaterum) w ścianie tylnej jamy pachowej?

- Głowa dłuża mięśnia trójdługiego ramienia
- Naczynia okalające łopatke
- Nerw pachowy i tętnica okalająca ramię tylne
- Nerw piersiowo-grzbietowy

Podpowiedź

2. Porażenie którego nerwu prowadzi do objawu znanego jako "łopatka skrzydlata"?

- Nerwu pachowego
- Nerwu nadłopatkowego
- Nerwu piersiowego długiego
- Nerwu grzbietowego łopatki

Podpowiedź

3. Który z wymienionych mięśni NIE należy do stożka rotatorów (mankietu mięśniowo-ścięgnistego)?

- Mięsień nadgrzbieniowy (supraspinatus)
- Mięsień obły większy (teres major)
- Mięsień obły mniejszy (teres minor)
- Mięsień podłopatkowy (subscapularis)

Podpowiedź

4. Na którym końcu kości promieniowej znajduje się wcięcie łokciowe (ulnar notch)?

- Na końcu dalszym, po stronie przyśrodkowej
- Na końcu dalszym, po stronie bocznej, obok wyrostka rycowatego
- Na końcu bliższym, obok głowy kości promieniowej
- Na trzonie, po stronie bocznej

Podpowiedź

5. W skład stawu łokciowego wchodzą trzy stawy. Który z nich jest stawem obrotowym?

- Staw ramienno-promieniowy
- Staw ramienno-łokciowy
- Staw promieniowo-łokciowy dalszy
- Staw promieniowo-łokciowy bliższy

Podpowiedź

2025 © Sebastian G.

6. Gdzie przyczepia się wspólne ścięgno końcowe mięśnia trójdłutowego ramienia (triceps brachii)?

- Na guzku podpanewkowym łopatki
- Na nadkłyku bocznym kości ramiennej
- Na guzowatości kości łokciowej (ulnar tuberosity)
- Na wyrostku łokciowym (olecranon)

Podpowiedz

7. Przez którą strukturę nerw pośrodkowy opuszcza dół łokciowy, wchodząc na przedramię?

- Kanał narotny (między głowami mięśnia obłego)
- Kanał nerwu promieniowego
- Kanał odwracacza
- Tunel łokciowy

Podpowiedz

8. Która tętnica jest głównym naczyniem tworzącym łuk dloniowy głęboki?

- Gałąź dloniowa powierzchniowa tętnicy promieniowej
- Zakończenie tętnicy łokciowej
- Zakończenie tętnicy promieniowej
- Tętnica międzykostna przednia

Podpowiedz

9. Jaką funkcję, poza prostowaniem w stawach, pełnią mięśnie międzykostne dloniowe i grzbietowe?

- Obie grupy mięśni przeciwstawiają palce kciukowi
- Międzykostne dloniowe przechodzą palce do palca III, a grzbietowe je odwodzą
- Międzykostne dloniowe odwodzą palce od palca III, a grzbietowe je przywodzą
- Obie grupy mięśni odpowiadają wyłącznie za zginanie palców w stawach śródręczno-paliczkowych

Podpowiedz

10. W zawartości dołu łokciowego (fossa cubitalis) nie znajdziemy:

- Tętnicy ramiennej
- Nerwu łokciowego
- Nerwu pośrodkowego
- Ścięgna mięśnia dwugłowego ramienia

Podpowiedz

11. Na jakiej kości i w której jej części znajduje się guzek stożkowy (conoid tubercle) i kresa czworoboczna (trapezoid line)?

- Na łopatce, przy wyrostku barkowym
- Na kości ramiennej, na końcu bliższym
- Na obojczyku, na końcu mostkowym
- Na obojczyku, na końcu barkowym

Podpowiedz

12. Gałąź głęboka nerwu promieniowego po przejściu przez kanał mięśnia odwracacza zmienia nazwę na:

- Nerw międzykostny przedni przedramienia
- Gałąź powierzchniowa nerwu promieniowego
- Nerw międzykostny tylny przedramienia
- Nerw skórny tylny przedramienia

Podpowiedź

13. Do którego szeregu kości nadgarstka należy kość haczykowata (hamate)?

- Do szeregu bliższego, po stronie promieniowej
- Do szeregu dalszego, po stronie łokciowej
- Do szeregu bliższego, po stronie łokciowej
- Do szeregu dalszego, po stronie promieniowej

Podpowiedź

14. Mięsień zginacz powierzchowny palców jest określany jako "zginacz przeszyty", ponieważ jego ścięgna:

- przeszywają troczek zginaczy w nadgarstku
- są przeszywane przez ścięgna mięśnia zginacza głębokiego palców w drodze do paliczków środkowych
- są przeszywane przez mięśnie glistowane
- przeszywająca ścięgna mięśnia zginacza głębokiego palców, aby dotrzeć do paliczków dalszych

Podpowiedź

15. Które węzły chłonne pachowe stanowią drugą stację filtracyjną dla chłonki z kończyny górnej i gruczołu sutkowego?

- Pachowe szczytowe
- Pachowe przednie
- Pachowe boczne
- Pachowe środkowe

Podpowiedź

Jeszcze raz